

Study of The Nuclear Structure of The Even-Even Isotopes $^{158-160}\text{Er}$

M. M. Yousif ^{(1)*}

¹ Department of Physics, Education College for Pure Science, University of Mosul, Mosul, Iraq

Article information

Article history:

Received December 05, 2023

Revised: January 28, 2024

Accepted: January 31, 2024

Available online: March 01, 2024

Keywords:

Er isotopes

IBM-1 model

NEE and SEF

Ground state

β -band and γ -bands

Correspondence:

mutasim.m.u@uomosul.edu.iq

Abstract

In this work, the energy levels of the ground state band (GSB), β -band and γ -bands for $^{158-160}\text{Er}$ isotopes were calculated using the Interacting Boson Model(IBM-1), the Semi-Empirical Formula (SEF) and the New Empirical Equation (NEE). All three models were developed by IBM. In order to complete this study, the above-mentioned models and equations were applied. The results of the GSB, β -band and γ -bands showed that IBM-1, SEF, NEE, and the available experimental data are all in agreement with certain variations this was shown by the results of the GSB. The NEE calculations have a higher level of compatibility with the experimental data when compared to both the IBM-1 calculations and the SEF calculations. According to the findings of this research, the SEF and NEE equations are both capable of describing the energy spectra of Er isotopes in comparison to IBM-1. The electric quadrupole transition probabilities $B(E2)$ transitions which obtained through IBM-1 for the above isotopes were calculated and found to be in agreement with the available experimental data, On the other hand, Isotopes of Er exhibit behavior that is consistent with a rotational SU(3) transition.

DOI: [10.33899/edusj.2024.144947.1410](https://doi.org/10.33899/edusj.2024.144947.1410), ©Authors, 2024, College of Education for Pure Science, University of Mosul.

This is an open access article under the CC BY 4.0 license (<http://creativecommons.org/licenses/by/4.0/>).

1. المقدمة

تتميز النوى الزوجية - الزوجية بمستويات طاقة معينة أولها هو مستويات الحالة الارضية GSB والتي لها زخم زاوي زوجي وحالات تماثل موجة ($I_1^\pi = 0^+, 2^+, 4^+$, ..., $4^+, 2^+, 0^+$) كما تظهر لهذه النوى مستويات اخرى مثل مستوى بيتا الاهتزازي (β -band) والتي لها حالات مماثلة لـ GSB, ومستويات كاما الاهتزازي (γ -band) ذات زخم زاوي فردي وزوجي وتماثل موجب ($I_1^\pi = 2^+, 3^+, 4^+, \dots$) وتكون مستويات اخرى في النوى الزوجية الزوجية مثل مستويات التكافؤ السالبة NPB والتي يكون لها زخم زاوي فردي وحالات تماثل سالبة ($I_1^\pi = 1^-, 3^-, 5^-, \dots$). تعتبر حالة الاثارة الاولى والنسبة بين حالة الاثارة الاولى الى الثانية ($R_{4/2} = E4_1^+/E2_1^+$) مؤشرين أوليين لخصائص النواة [1]. تم تقديم عدة طرق لتحديد خصائص النوى الزوجية الزوجية، منها دراسة ظاهرة الانحناء الخافي في قيمة طاقة الفوتون المنبعثة وذلك عندما تنتقل النواة من حالة الاثارة الى الحالة السابقة وتعتبر هذه الدراسة مناسبة لتحديد تغير طور النواة.. كما يمكن الحصول على معلومات عن خصائص كل نواة من خلال رسم منحني بين طاقة كاما مقسومة على البرم ($\frac{E\gamma}{I}$) = R دالة للبرم والتي سميت بمنحنيات E-GOS () بالاعتماد على قيم الطاقات للتحديات الثلاثة. وضعت العديد من النماذج النووية لدراسة التركيب النووي منها انموذج الجماعي (Bohr and Mottelson () وانموذج () IVBM () وانموذج البوزونات المترافق () IBM-1 () [2]. بعد انموذج البوزونات المترافق () الذي تم تقديمها من قبل (Arima and Iachello, 1974) [3] من النماذج النووية التي نجحت في حساب مستويات الطاقة للنوى الزوجية - الزوجية. في هذا الانموذج يتم معالجة حركة النكليونات خارج الاغلفة المغلقة بوصفها ازواج من البروتونات والنيترونات تدعى البوزونات

عدد ازواج البروتونات (النيوترونات) التكافؤ والتي يرمز لها ($N\pi$), $N\gamma$ تحسب من اقرب قشرة مغلقة فاذا كان الغلاف ممثلاً اكثر من النصف هنا يكون عدد البوزونات هو عدد ازواج الفجوات وتعامل النواة كنظام لعدد من البوزونات ($N=N\pi+N\gamma$) [4] وهذا الانموذج يستطيع وصف مستويات النوية ذات التمايل الموجب فقط. خضعت نظائر الايربيبوم للعديد من الدراسات فقد استخدم عبود والجبوري [5] انموذج البوزونات المتفاعلة (IBM-2) لحساب مستويات الطاقة واحتمالات الانتقال الكهرومغناطيسية لنظائر ($Er^{158-168}$) وايضاً لتحديد هامتونيا لهذه النظائر مع استخدام فكرة جديدة لحساب عدد البوزونات عند $N=64$. تمكن الجبوري واخرون [6] [7] من حساب التشوه النووي لنظائر ($Er-Os$) الارضية الزوجية ذات $N=102$ باستخدام معادلة تجريبية جديدة وانموذج البوzon المتفاعلة (IBM-1). ايضاً درست القاسم واخرون [8] التركيب النووي ومستويات الطاقة لنظائر زوجية- زوجية من ضمنها النظير ($158Er$) باستخدام النماذج (BM و IVBM و IBM) احتسبت حالات الطاقة لتحديد خصائص لكل نظير ومقارنتها مع البيانات التجريبية. الهدف من الدراسة هو دراسة التركيب النووي للنظائر قيد الدراسة باستخدام من انموذج البوزونات المتفاعلة ومعدلات جديدة في التركيب النووي.

2. الجانب النظري :

1-2 - انموذج البوزونات المتفاعلة IBM-1 :

ان اهم ما في هذا الانموذج أنه يعد كل من النكليونات التكافؤ بوزونا في حين تشكل بقية النكليونات القاب الهامد للنواة هذه النكليونات تقسم الى قسمين احدهما بزخم زاوي $L=0$ وتسمى بوزونات S والآخر بزخم زاوي $L=2$ بوزونات d . تتفاعل البوزونات مع بعضها وتعطي هامتونيا التفاعل التالي [4]:

$$\hat{H} = \sum_{i=1}^n \epsilon_i + \sum_{i < j} V_{ij} \quad \dots \dots \dots \quad (1)$$

إذ إن (ϵ) هو طاقة البوزون و(n) هو عدد البوزونات و(V_{ij}) طاقة التفاعل بين البوزونين (j and i) ويمكن كتابة الصيغة العامة لمؤشر هامتون وفق انموذج (IBM-1) باستخدام صيغة متعدد القطبية [4],

$$H = \epsilon \hat{n}_d + a_0 \hat{P} \cdot \hat{P} + a_1 \hat{L} \cdot \hat{L} + a_2 \hat{Q} \cdot \hat{Q} + a_3 \hat{T}_3 \cdot \hat{T}_3 + a_4 \hat{T}_4 \cdot \hat{T}_4 \quad \dots \dots \dots \quad (2)$$

اذ ان

$$\epsilon = \epsilon_d - \epsilon_s \quad \dots \dots \dots \quad (3)$$

هنا اعتبرت طاقة بوزونات S (ϵ_d) تساوي صفر وبذلك تكون طاقة البوزونات هو متساوية لطاقة البوزونات d (ϵ_s) المعاملات (a_0, a_1, a_2, a_3, a_4) تعبر عن قوة التفاعل والازدواج والزخم الزاوي رباعي القطب وثماني القطب والقطب السادس عشر بين البوزونات على التوالي .

$$\left. \begin{array}{l} \hat{n}_d = (d^\dagger \cdot \tilde{d}), \\ \hat{p} = \frac{1}{2} [(\tilde{d} \cdot \tilde{d}) - (\tilde{s} \cdot \tilde{s})], \\ \hat{L} = \sqrt{10} [d^\dagger \times \tilde{d}], \\ \hat{Q} = [d^\dagger \times \tilde{s} + s^\dagger \times \tilde{d}] + \chi [d^\dagger \times \tilde{d}], \\ \hat{T}_r = [d^\dagger \times \tilde{d}]^{(r)}, \quad r = 3 \text{ and } 4 \end{array} \right] \quad \dots \dots \dots \quad (4)$$

\hat{n}_d : مؤثر عدد البوزونات نوع d .

\hat{p} : مؤثر الازدواج .

\hat{L} : مؤثر الزخم الزاوي .

\hat{Q} : مؤثر رباعي القطب .

\hat{T}_r : مؤثر ثماني القطب والقطب السادس عشر [8].

تعتمد النتائج الديناميكية في هذا الانموذج على الزمرة الوحدوية ($U(6)$) والتي تتحل الى ثلاثة سلاسل فرعية (تحديات) وهي تحديد ($U(5)$) للنوى الاهتزازية و ($SU(3)$) للنوى الدورانية و ($O(6)$) للنوى كاما الناعمة,

$$U(6) \supset \begin{cases} U(5) \supset O(5) \\ SU(3) \\ O(6) \supset O(5) \end{cases} \supset O(2) \quad (5)$$

يمكن التنبؤ عن خصائص النوى الزوجية-الزوجية من خلال ايجاد نسبة الطاقة $(\frac{E(4_1^+)}{E(2_1^+)})$ حيث $E(4_1^+)$ هو الطاقة لمستوي الاثارة الثاني و $E(2_1^+)$ هو الطاقة لمستوي الاثارة الاول ، وتخالف قيم R من تحديد الى الاخر فتكون $2.4 \leq R \leq 2$ للنوى الاهتزازية (5^-) ، و $3 \leq R \leq 2.4$ للنوى (O^-) و $3.3 \leq R \leq 3$ للنوى الدورانية (3^-) [7] وهناك النوى تمتلك خصائص مشتركة بين تحديدين او اكثر لتكون في مناطق انتقالية. ويمكن توضيح التوقعات الثلاثة كالتالي[8]:

2-1 التناظر الديناميكي الاهتزازي (5^-)

تعطى دالة الهاملتون الخاص لهذا التحديد بالعلاقة[8]:

$$\hat{H} = \varepsilon \hat{n}_d + a_1 \hat{L} \cdot \hat{L} + a_3 \hat{T}_3 \cdot \hat{T}_3 + a_4 \hat{T}_4 \cdot \hat{T} \quad (6)$$

يتبيّن ان المؤثرين Q و P غير فعالين في هذا التناظر وتعطى معادلة القيمة الذاتية لهذا التناظر كالتالي [6]:

$$E(n_d, v, L) = \varepsilon n_d + K_1 n_d (n_d + 4) + K_4 v (v + 3) + K_5 L (L + 1) \quad (6)$$

2-2 التناظر الديناميكي الدوراني (3^-)

دالة هامilton الخاصة لهذا التحديد تكتب بالشكل[5]:

$$H = a_1 \hat{L} \cdot \hat{L} + a_2 \hat{Q} \cdot \hat{Q} \quad (7)$$

نلاحظ بان التفاعل الزخم وكذلك تفاعل رباعي القطب الكهربائي هي المهيمنة في هذا التحديد . يعطى قيم المعاملين a_1, a_2 بالشكل التالي [5]:

$$a_2 = -\frac{E2_2^+ - E2_1^+}{3(2N-1)} \quad (8)$$

and

$$a_1 = \frac{E2_1^+}{6} + \frac{3}{8} a_2 \quad (9)$$

تعطى معادلة القيمة الذاتية لhamiltonون (3^-) بالعلاقة التالية :

$$E | , (\lambda, \mu), K, L, \mu > = \frac{a^2}{2} (\lambda^2 + \mu^2 + \lambda\mu + 3(\lambda + \mu) \left(a^1 - \frac{3a^3}{8} \right) L(L-1) \dots \dots \dots (10)$$

إذ إن λ, μ عبارة عن اعداد كمية المختزلة لعدد البورونيات (N) وتمثل حالات $SU(3)$ الممكنة لكل قيمة L ، اما K فهو العدد الكمي التي يرمز الى الحالات التي تمتلك قيمًا متسلسلة L (λ, μ, L) كما يمثل λ (L) الزخم الزاوي الكلي للنواة، وتعطى القيمة المختزلة لاحتمالية الانتقال رباعي القطب (E_2^-) $B(E_2^-)$ بالصيغة التالية [6]:

$$B(E_2, L+2 \rightarrow L) = e B^2 \frac{3}{4} \left[\frac{(L+2)(L+1)}{(2L+3)(2L+5)} \right] \times (2N-L)(2N+L+3) \dots \dots \dots (11)$$

او يعطى لمستوى الاول 2^+ [5]:

$$B(E2: 2_1^+ \rightarrow 0_1^+) = e B^2 \frac{N(2N+3)}{5} \dots \dots \dots (12)$$

2-3 تناظر كاما الناعمة (6^-)

الهاملتون لهذا التحديد تعطى بالشكل الاتي [5]:

$$\hat{H} = a_0 \hat{P} \cdot \hat{P} + a_1 \hat{L} \cdot \hat{L} + a_3 \hat{T}_3 \cdot \hat{T}_3 \dots \dots \dots (13)$$

وتعطى معادلة القيمة الذاتي لها التحديد كالتالي

$$E = K_3 (N - \sigma) (N + \sigma + 4) + K_4 \tau (\tau + 3) + K_5 L (L + 1) \dots \dots \dots (14)$$

3- معدلات جديدة

لصعوبة دراسة التركيب النووي للنوى خاصة منها المشوهة فقد وضعت عدة معدلات في الأوننة الأخيرة منها الصيغة شبه التجريبية SEF كدالة للزخم الزاوي من قبل الجوري 2016 إذ تعتمد هذه المعدلة بصورة رئيسة على الدالة الاسية الطبيعية وتعطى للحرمة الأرضية بالصيغة التالية [8] :

$$E(I) = A_1 [\exp(A_2 I) - A_3] \dots \dots \dots (15)$$

إذ ان المعلمات A1, A2 and A3 يمكن ايجادها من اجراء عملية المواءمة لمستويات الحزمة الارضية اما للحزم مثارة اعلى من الحزمة الأرضية فتأخذ المعادلة الصيغة التالية:

$$E(I) = E_0 + (A_1 + B)[\exp(A_2 I) - A_3] \quad \dots \quad (16)$$

إذ ان E_0 تمثل راس الحزمة المثارة في حين يتم ايجاد المعلم B من اجراء عملية المواءمة لمستويات الحزمة المثارة كان تكون حزمة كما او بيتا. وفي عام 2018 وجدت معادلة أخرى من قبل الجبوري واخرون اطلق عليها معادلة تجريبية جديدة NEE للحزمة الأرضية تعطى كالاتي [7]:

$$E(I) = \frac{A_1 I(I+1)}{A_2 (I+1) + IA_3} \quad \dots \quad (17)$$

والحزم المثارة تعطى بالمعادلة التالية:

$$E(I) = E_0 + \frac{(A_1 + B)I(I+1)}{A_2 (I+1) + IA_3} \quad \dots \quad (18)$$

وبنفس الآلية يتم ايجاد الثوابت

3- احتمالية الانتقال رباعية القطب الكهربائية (B(E2)) :

يمكن الحصول على معلومات اضافية حول بنية النوى من دراسة احتمالات الانتقال الرباعي الكهربائي يكتب عامل الانتقال E2 بالشكل التالي :

$$T^{E2} = \alpha_2 [d^\dagger \times s + s^\dagger \times d] + \beta_2 [d^\dagger \cdot d] = e_B \hat{Q} \quad \dots \quad (19)$$

حيث تمثل $[d^\dagger, d]$ مؤثرات الخلق والفناء لبوزونات (S,d) على التوالي، اما α_2 و β_2 معاملات يمكن ايجادهم كالاتي [7] :

$$\alpha_2 = e_B$$

$$\beta_2 = \chi \alpha_2$$

e_B : هو الشحنة الفعلية للبوزون .

$$\chi : \text{قيمة ثابتة [5]} \text{ تقريبا وللحديد SU3 تساوي } -1.32 \approx \frac{-\sqrt{7}}{2}$$

جدول (2) المعاملات (α_2 ، β_2) المستخدمة لايجاد قيمة (B(E2) للنوى Er¹⁶²⁻¹⁷² الزوجية- الزوجية تعطى الانتقالات الكهربائية (B(E2) باستخدام الصيغة [7]):

$$B(E2) = \frac{0.05657}{T_{1/2}^\gamma (\text{ps}) E_\gamma^5 (\text{Mev})} (e^2 b^2) \quad \dots \quad (20)$$

إذ E_γ يمثل انتقال الطاقة ($I \rightarrow I - 2$) و $T_{1/2}$ هو عمر النصف للمستوى بوحدة(ps) ففي حال انتقال واحد من مستوى الطاقة تعطى العمر النصفي بالصيغة

$$T_{1/2}^\gamma = T_{1/2} (\exp)(1 + \alpha_{\text{tot}}) \quad \dots \quad (21)$$

العلاقة التي تربط بين (B(E2) بوحدات الوابسکوف w.u و (B(E2) بوحدات $e^2 b^2$ تعطى بالصيغة التالية [13]:

$$B(E2) w.u = \frac{B(E2) e^2 b^2}{5.934 \times 10^{-6} \frac{4}{A^3} e^2 b^2} \quad \dots \quad (22)$$

4- الطاقة السطحية الكامنة (PES)

إحدى أهم خصائص النواة هي الطاقة السطحية الكامنة لأنها المسؤولة عن إعطاء الشكل النهائي للنواة ويمكن اشتقاق التقسيم الهندسي للهاملتونييان في أنموذج البوزونات المتفاعلة بواسطة المؤثرات الذاتية كالاتي :

$$|N, \beta, \gamma\rangle = 1/\sqrt{N!} (b_c^\dagger)^N |0\rangle \quad \dots \quad (.23)$$

إذ إن $|0\rangle$ يدل على فجوة البوزون وأن

$$(b_c^\dagger) = (1 + \beta^2)^{-1/2} \left\{ S^\dagger + \beta \left[\cos(d_0^\dagger) + \sqrt{\frac{1}{2}} \sin \gamma (d_2^\dagger + d_{-2}^\dagger) \right] \right\} \quad \dots \quad (24)$$

4- النتائج والمناقشة:

تم حساب مستويات الطاقة بواسطة (IBM-1) و(SEE) و(SEE) وقيمة احتمالات الانتقال (E2) للنظيرين ($^{158-160}_{68}Er$) والمقارنة بين النتائج التي تم الحصول عليها.

1-4 مستويات الطاقة:

نوى النظيرين ($^{158-160}_{68}Er$) تمتلك عدد ذري (Z=68) وهي تمثل اقرب غلاف ممتنئ لذا تكون عدد البوزنات نوع بوزن - بروتون (N_p) = 82-68/2 = 7 اما عدد البوزنات نوع بوزن - نيترون (N_n) والذي يحسب من عدد النيترونات لكل نظير، ايضاً تكون اقرب غلاف ممتنئ هو العدد السحري (82) فتكون عدد بوزنات (N_v) تساوي (5,6) للنظيرين (^{158}Er , ^{160}Er) على التوالي . لذا تكون عدد البوزنات الكلية (N_v) + $N = N_p$ (تساوي (11) للنظير ^{158}Er و(12) للنظير ^{160}Er)

$$\text{كنقطة بداية للحسابات الحالية تم ايجاد النسبة } R = \frac{E_{41}^+}{E_{21}^+} \text{ لكلا النظيرين كما في الجدول (1),}$$

الجدول (1) قيمة R للنظائر $^{158-160}Er$ الزوجية - الزوجية

| Isotopes | ^{158}Er | ^{160}Er |
|----------------------|------------|------------|
| E ₂ (keV) | 192.15 | 125.47 |
| R _{4/2} | 2.743 | 3.103 |

النسبة (R= $\frac{E_{41}^+}{E_{21}^+}$) تعتبر مؤشراً جيداً تشه شكل النواة ، من خلال الجدول رقم (1) تم الحصول على معلومات اولية للنظيرين ($^{158-160}Er$) توضح ان النظير ^{158}Er تمتلك خصائص تحديد كما الناعمة (O6) في حين أن النظير النظير ^{160}Er تمتلك خصائص التحديد الدوراني (3) SU. الجداول (2-5) تمثل قيم المعلمات المستخدمة في الحسابات لأنموذج (IBM-1) و (SEF) و (SEE) على التوالي.

الجدول رقم (2) تمثل قيم المعاملات IBM-1 مع عدد البوزنات N_b للنظائر ($^{162-172}Er$)

| IBM-1 | | | | | |
|------------|----------------|-------|--------|------------|---------|
| Isotopes | N _b | ELL | QQ | α_2 | β |
| ^{158}Er | 11 | 0.057 | -0.019 | 0.109 | -0.144 |
| ^{160}Er | 12 | 0.034 | -0.021 | 0.116 | -0.153 |

$$ELL=2\alpha_1 \text{ and } QQ=2\alpha_2$$

الجدول (3) تمثل قيم المعاملات للجزمة الارضية للمعادلين SEF و SEE لنظائر ($^{158-160}Er$)

| SEF [8] | | | SEE [7] | | | |
|------------|----------------|----------------|----------------|----------------|----------------|----------------|
| Isotopes | A ₁ | A ₂ | A ₃ | A ₁ | A ₂ | A ₃ |
| ^{158}Er | 1.51 | 0.087 | 1.034 | 0.136 | 3.818 | -3.68 |
| ^{160}Er | 3.65 | 0.043 | 1.048 | 0.117 | 4.142 | -3.823 |

الجدول (4) معاملات SEF للزمتين بيتا β وكاما γ بوحدة Mev للنظيرين $^{158-160}Er$ الزوجية-الزوجية .

| Isotopes | N _b | Band β | | | Band γ | |
|------------|----------------|----------------|-------|--|----------------|---|
| | | E ₀ | B | | E ₀ | B |
| ^{158}Er | 11 | 0.799 | -0.25 | | — | — |

| | | | | | |
|-------------------|----|-------|--------|-------|--------|
| ^{160}Er | 12 | 0.854 | -0.451 | 0.674 | -0.029 |
|-------------------|----|-------|--------|-------|--------|

جدول رقم (5) معاملات NEE للجزء متبين بينا β وكاما γ بوحدة Mev للنظيرين $^{158-160}\text{Er}$

| Isotopes | Band β | | | Band γ | |
|-------------------|----------------|----------------|--------|----------------|--------|
| | N _b | E ₀ | B | E ₀ | B |
| ^{158}Er | 11 | 0.859 | -0.057 | — | — |
| ^{160}Er | 12 | 0.846 | -0.014 | 0.724 | -0.003 |

فورن بين قيم الطاقات العملية والنتائج التي تم الحصول عليها من انمودج (IBM-1) وكذلك القيم للطاقات التي تم الحصول عليها من المعادلين (SEF و NEE). بالنسبة للجزء الأرضية وجزء بيبيتا β وكاما γ كما هو موضح بالجدول التالى:

الجدول رقم (6) قيم حالات الطاقات التجريبية EXP والمحسوبة لـ (GSB) للنظير ^{158}Er بوحدة (Mev).

| ^{158}Er (GSB) | | | | | | |
|-------------------------|------------------------|--------------------------|------------|----------|------------|----------|
| I^+ | E_{exp} (Mev) | E _{cal} (Mev) | | | | |
| | | IBM-1 | $\Delta\%$ | SEF | $\Delta\%$ | NEE |
| 0_1^+ | 0 | 0 | 0 | 0 | 0 | 0 |
| 2_1^+ | 0.192 | 0.190 | 1.04 | 0.235644 | -22.7313 | 0.199316 |
| 4_1^+ | 0.527 | 0.634 | -20.3 | 0.577171 | -9.52011 | 0.622426 |
| 6_1^+ | 0.970 | 1.332 | -37.3 | 0.983607 | -1.40278 | 1.229445 |
| 8_1^+ | 1.493 | 2.284 | -52.9 | 1.467288 | 1.72217 | 1.989435 |
| 10_1^+ | 2.072 | 3.490 | -68.4 | 2.042895 | 1.404681 | 2.87803 |
| 12_1^+ | 2.680 | 4.950 | -84.7 | 2.7279 | -1.78731 | 3.875776 |

الجدول رقم (7) قيم حالات الطاقات التجريبية EXP والمحسوبة لـ β band (GSb) للنظائر ^{158}Er بوحدة (Mev).

| ^{158}Er (β band) | | | | | | |
|-----------------------------------|------------------------|--------------------------|------------|-----------------|-------------|----------|
| I^+ | E_{exp} (Mev) | E _{cal} (Mev) | | | | |
| | | IBM-1 | $\Delta\%$ | SEF | $\Delta\%$ | NEE |
| 0_2^+ | 0.806 | 0.626 | 22.3 | 0.75616 | 6.1 | 0.859 |
| 2_2^+ | 0.989 | 0.817 | 17.3 | 0.99563 | -0.6 | 0.974779 |
| 4_2^+ | 1.257 | 1.262 | -0.4 | 1.280613 | -1.8 | 1.220556 |
| 6_2^+ | 1.589 | 1.959 | - | 1.619758 | -1.9 | 1.573163 |
| 8_2^+ | 2.019 | 2.911 | -44 | 2.023359 | -0.2 | 2.014628 |
| 10_2^+ | 2.488 | 4.117 | - | 2.503668 | -0.6 | 2.530797 |
| 12_2^+ | 3.109 | 5.576 | - | 3.075261 | 1.08 | 3.11037 |

الجدول رقم (8) قيم حالات الطاقات التجريبية EXP والمحسوبة لـ (GSB) للنظير ^{160}Er بوحدة (Mev)

| ^{160}Er (GSB) | | | | | | |
|-------------------------|------------------------|------------------------|------------|-------|------------|-------|
| I^+ | E_{exp} (Mev) | E_{cal} (Mev) | | | | |
| | | IBM-1 | $\Delta\%$ | SEF | $\Delta\%$ | NEE |
| 0_1^+ | 0 | 0 | 0 | 0 | 0 | 0 |
| 2_1^+ | 0.125 | 0.371 | -196 | 0.152 | -21.6 | 0.147 |
| 4_1^+ | 0.389 | 1.238 | -218 | 0.509 | -30.8 | 0.433 |
| 6_1^+ | 0.765 | 2.601 | -240 | 0.899 | -17.5 | 0.813 |
| 8_1^+ | 1.229 | 4.459 | -262 | 1.323 | -7.6 | 1.261 |
| 10_1^+ | 1.760 | 6.813 | -287 | 1.785 | -1.4 | 1.760 |
| 12_1^+ | 2.340 | 9.662 | -312 | 2.289 | 2.2 | 2.296 |
| | | | | | | 1.8 |

الجدول رقم (9) قيم حالات الطاقات التجريبية EXP والمحسوبة لـ β band (Mev) للنظير ^{160}Er بوحدة (Mev).

| ^{160}Er (β band) | | | | | | |
|-----------------------------------|------------------------|------------------------|------------|-------|------------|-------|
| I^+ | E_{exp} (Mev) | E_{cal} (Mev) | | | | |
| | | IBM-1 | $\Delta\%$ | SEF | $\Delta\%$ | NEE |
| 0_2^+ | 0.893 | 0.724 | 18.9 | 0.854 | 4.3 | 0.846 |
| 2_2^+ | 1.007 | 1.096 | -8.8 | 0.988 | 1.8 | 0.976 |
| 4_2^+ | 1.229 | 1.963 | -59.7 | 1.301 | -5.8 | 1.227 |
| 6_2^+ | 1.542 | 3.325 | -115.6 | 1.642 | -6.4 | 1.563 |
| 8_2^+ | 1.921 | 5.184 | -169.8 | 2.014 | -4.8 | 1.957 |
| 10_2^+ | 2.360 | 7.537 | -219.3 | 2.419 | -2.5 | 2.396 |
| 12_2^+ | 2.845 | 10.386 | -265 | 2.861 | -0.5 | 2.868 |
| | | | | | | -0.8 |

الجدول رقم (10) قيم حالات الطاقات التجريبية EXP والمحسوبة لـ γ band (Mev) للنظير ^{160}Er بوحدة (Mev).

| ^{160}Er (γ band) | | | | | | |
|------------------------------------|------------------------|------------------------|------------|-------|------------|-------|
| I^+ | E_{exp} (Mev) | E_{cal} (Mev) | | | | |
| | | IBM-1 | $\Delta\%$ | SEF | $\Delta\%$ | NEE |
| 2_3^+ | 0.854 | 1.096 | -28.3 | 0.825 | 3.3 | 0.867 |
| 3_1^+ | 0.987 | 1.467 | -48.6 | 0.998 | -1.1 | 0.993 |
| 4_3^+ | 1.128 | 1.963 | -74.0 | 1.179 | -4.5 | 1.147 |
| 5_1^+ | 1.316 | 2.582 | -96.2 | 1.368 | -3.9 | 1.323 |
| 6_3^+ | 1.499 | 3.924 | -161.7 | 1.565 | -4.4 | 1.519 |
| 7_1^+ | 1.740 | 4.193 | -140.9 | 1.771 | -1.7 | 1.732 |
| 8_3^+ | 1.950 | 5.782 | -196.5 | 1.986 | -1.8 | 1.958 |
| 9_1^+ | 2.242 | 6.298 | -180.9 | 2.211 | 1.3 | 2.196 |
| 10_3^+ | 2.436 | 8.136 | -233.9 | 2.445 | -0.36 | 2.445 |
| 11_1^+ | 2.800 | 8.900 | -217.8 | 2.690 | 3.9 | 2.704 |
| 12_3^+ | 2.998 | 10.985 | -266.4 | 2.945 | 1.7 | 2.970 |
| | | | | | | 0.9 |

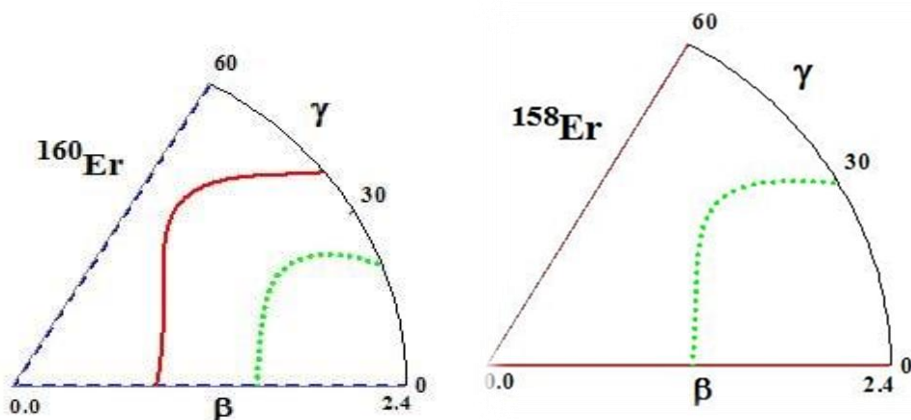
نلاحظ من الجدول(11) ان هناك تقاربًا نوعاً ما جيد بين القيم العملية [9] والمحسوبة باستخدام أنموذج البوزونات المتفاعلة الإصدار الأول للانتقادات العليا.

جدول (11) قيم (E2) النظرية مقارنة بالقيم العملية المتوفرة للنظائر Er¹⁵⁸⁻¹⁶⁰

| $I_i \rightarrow I_f$ | ¹⁵⁸ Er | | ¹⁶⁰ Er | |
|------------------------|-----------------------|-------|-----------------------|-------|
| | $\text{EXP}(e^2 b^2)$ | IBM-1 | $\text{EXP}(e^2 b^2)$ | IBM-1 |
| $2_1 \rightarrow 0_1$ | 0.654 | 0.444 | 0.872 | 0.599 |
| $4_1 \rightarrow 2_1$ | 0.944 | 0.623 | 1.244 | 0.844 |
| $6_1 \rightarrow 4_1$ | 1.249 | 0.663 | 1.358 | 0.903 |
| $8_1 \rightarrow 6_1$ | 1.513 | 0.660 | 1.497 | 0.905 |
| $10_1 \rightarrow 8_1$ | 1.269 | 0.631 | 1.497 | 0.877 |

3-4 الطاقة السطحية الكامنة (PES)

تم حساب الطاقة السطحية للنظائر قيد الدراسة إذ وجد أن النوى تعاني من التشوه الشكلي و تمتلك الخاصية الدورانية (3) SU كما موضح في الشكل (1) .



الشكل (1) : جهد الطاقة السطحية لنظائر Er¹⁵⁸⁻¹⁶⁰

الاستنتاجات

أظهرت نتائج الدراسة الحالية ان حسابات النماذج IBM-1 و SEF و NEE للحرمة الارضية GSB و حزمة γ -bands و البيانات التجريبية متوافقة نوعاً ما مع وجود بعض الاختلافات الطفيفة. تمثّل حسابات NEE بمستوى أعلى من التوافق مع البيانات التجريبية بالمقارنة مع حسابات IBM-1 و SEF. ومن الناحية الأخرى اثبتت النتائج الحالية للبحث أن استخدام معادلات SEF و NEE قادر على وصف أطياف الطاقة لنظائر Er بدقة أكثر بالمقارنة مع IBM-1.

احتمالية الانتقادات المختزلة (B(E2)) التي تم الحصول عليها من خلال IBM-1 لنظائر Er تتفق مع البيانات التجريبية المتوفرة [9]. وان حسابات الطاقة السطحية بينت ان نظائر Er تمتلك خاصية الدورانية (3) SU(3).

شكر وتقدير

الشكر الجزييل لجامعة الموصل كلية التربية للعلوم الصرفة قسم الفيزياء لدعمهم في إجراء البحث.

References

- [1] I. M. Ahmed, M. Abed Al-Jubbori, H. H. Kassim, H. Y. Abdullah, and F. I. Sharrad, “Investigation of even–even 220–230Th isotopes within the IBM, IVBM and BM,” *Nucl. Phys. A*, vol. 977, no. May, pp. 34–48, Sep. 2018, doi: 10.1016/j.nuclphysa.2018.05.010.
- [2] I. Yahya and M. Hussien, “Study of Nuclear Structure of Even-Even Dy Isotopes,” *J. Educ. Sci.*, vol. 30, no. 4, pp. 1–14, Sep. 2021, doi: 10.33899/edusj.2021.129475.1140.
- [3] F. Iachello and A. Arima, “Boson symmetries in vibrational nuclei,” *Phys. Lett. B*, vol. 53, no. 4, pp. 309–312, 1974, doi: 10.1016/0370-2693(74)90389-X.
- [4] F. Iachello, “An Introduction to the Interacting Boson Model,” *Nucl. Struct.*, pp. 53–89, 1981, doi: 10.1007/978-1-4684-3950-2_3.
- [5] R. F. Casten, “The Interacting Boson Approximation model,” *Proc. Int. Sch. Phys. “Enrico Fermi,”* vol. 169, no. 2, pp. 385–421, 2008, doi: 10.3254/978-1-58603-885-4-385.
- [6] M. A. Al-Jubbori *et al.*, “Nuclear structure of the even–even rare-earth Er–Os nuclei for N = 102,” *Indian J. Phys.*, vol. 94, no. 3, pp. 379–390, 2020, doi: 10.1007/s12648-019-01461-3.
- [7] M. A. Al-Jubbori *et al.*, “Critical Point of the 152Sm, 154Gd, and 156Dy Isotones,” *Phys. At. Nucl.*, vol. 82, no. 3, pp. 201–211, May 2019, doi: 10.1134/S1063778819030049.
- [8] H. H. Kassim, M. A. Al-Jubbori, M. M. Yousif, I. M. Ahmed, and F. I. Sharrad, “Nuclear Structure and Energy Levels of 158Er, 160Yb and 162Hf Isotones,” *IOP Conf. Ser. Mater. Sci. Eng.*, vol. 928, no. 7, 2020, doi: 10.1088/1757-899X/928/7/072064.
- [9] C.W. Reich, Nuclear data sheets for A = 162, Nucl Data Sheets. 108 (2007) 1807, <https://doi.org/10.1016/J.NDS.2007.07.002>.-2034.

دراسة التركيب النووي لنظائر Er^{158} - 160 الزوجية-الزوجية

معتصم محمود يوسف ¹

¹ قسم الفيزياء، كلية التربية للعلوم الصرفة، جامعة الموصل، الموصل، العراق

الخلاصة:

في هذا البحث، استخدم نموذج البوزون المتفاعلة الاول (IBM-1)، والصيغة الشبه التجريبية (SEF)، والمعادلة التجريبية الجديدة (NEE) لحساب الطاقات للحرمة الحالة الأرضية (GSB)، وطاقات حزم كما γ -bands للنظائر Er^{158} - 160 . إذ أظهرت الدراسة ان نتائج النماذج IBM-1 و SEF و NEE للحرمة الأرضية GSB وحزمة γ -bands و البيانات التجريبية المتوفرة كلها متوافقة مع بعض الاختلافات. بالمقارنة مع حسابات IBM-1 و SEF و NEE حيث تمتاز IBM-1 بمستوى أعلى من التوافق مع البيانات التجريبية. ومن الناحية الأخرى اثبتت نتائج البحث أن استخدام معادلات SEF و NEE قادر على وصف أطياف الطاقة بدقّة أكبر بالمقارنة مع IBM-1. احتسبت احتمالية الانتقالات المختلفة B(E2) التي تم الحصول عليها من خلال IBM-1 النظائر اعلاه وتبين انها تتفق مع البيانات التجريبية المتوفرة. النسبة ($R = \frac{E_{41}^+}{E_{21}^+}$) ايضاً تم حسابها واظهرت ان شكل النوى قيد الدراسة مشوه. من ناحية أخرى، اثبتت حسابات الطاقة السطحية للنظيرين قيد الدراسة ان هذه النوى تعاني من التشوه الشكلي و تمتلك الخاصية الدورانية SU(3).